

Field Test of Classical Symmetric Encryption with Continuous Variable Quantum Key Distribution

Paul Jouguet, Sébastien Kunz–Jacques, Thierry Debuisschert, Simon Fossier, Eleni Diamanti, Romain Alléaume, Rosa Tualle–Brouri, Philippe Grangier, Anthony Leverrier, Philippe Pache and Philippe Painchault

Optics Express, Vol. 20, Issue 13,
pp. 14030–14041 (2012)

平野研究室

09041044 羽田 昌也

量子鍵配送とは

◆ 現代暗号 → 計算量的安全性

例)素因数分解

$$67*97=6499$$

$$6499=x*y$$



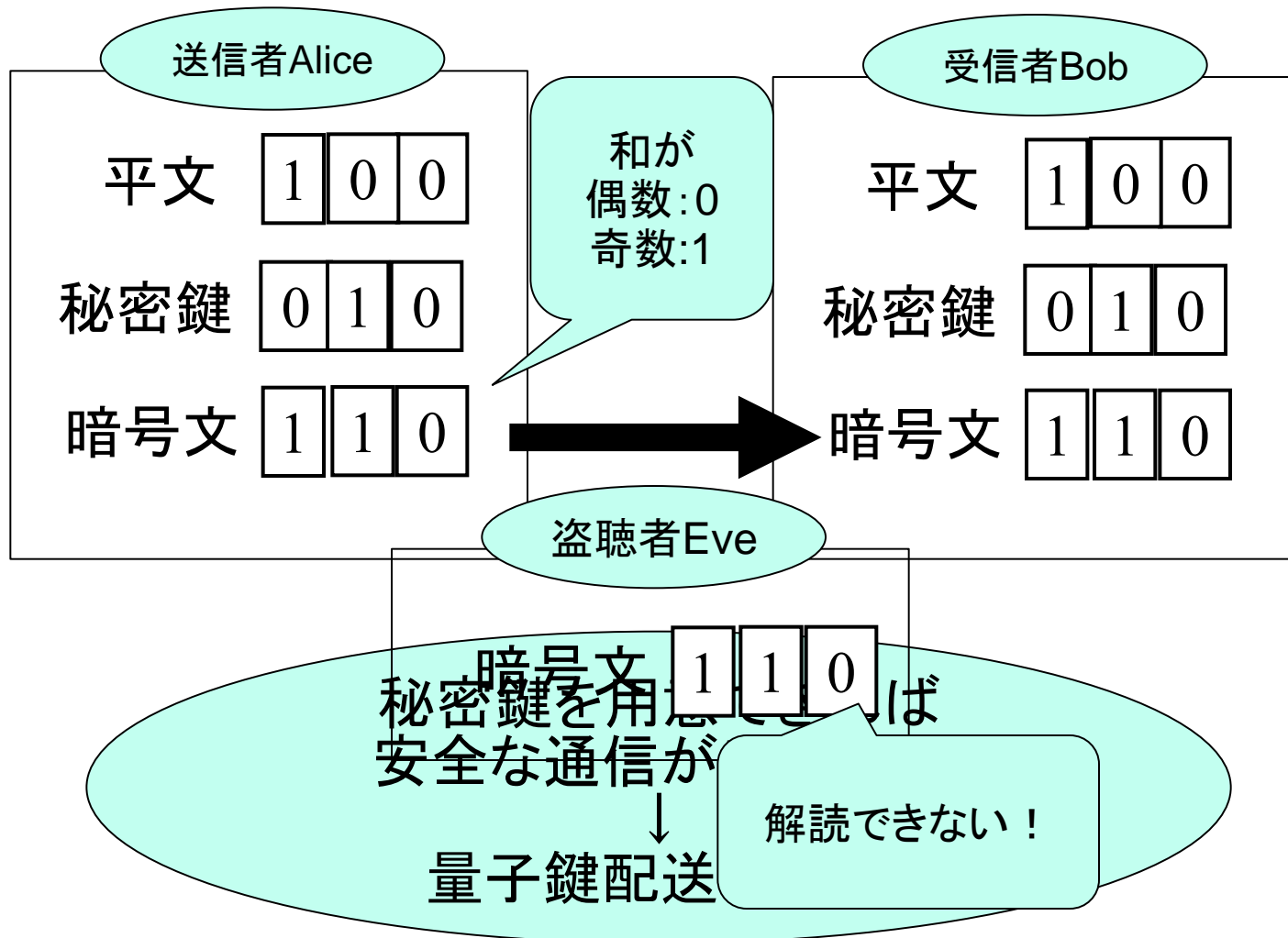
計算機の高速化や効率的なアルゴリズムの
開発により解読される可能性！

◆ 量子鍵配送(Quantum Key Distribution)

✓ 共通鍵暗号に用いる秘密鍵の配送

✓ 量子力学の性質を利用して秘密鍵の安全性を保証

QKDとは- 共通鍵暗号について



QKDの2種類の実現方法

離散変数QKD

Discrete-Variable QKD

- ◆ 単一光子検出器
- ✓ 低温で動作→**冷却が必要**
- ◆ 単一光子状態を用いる

佐藤君・小栗君が説明

連続変数QKD

Continuous-Variable QKD

- ◆ ホモダイン検出器
- ✓ 室温で動作
- ◆ コヒーレント状態を用いる
- ◆ 特殊なデバイスがいらない

今回使用

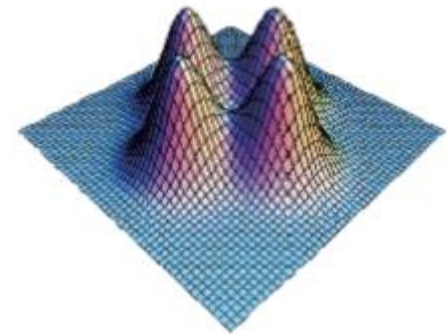
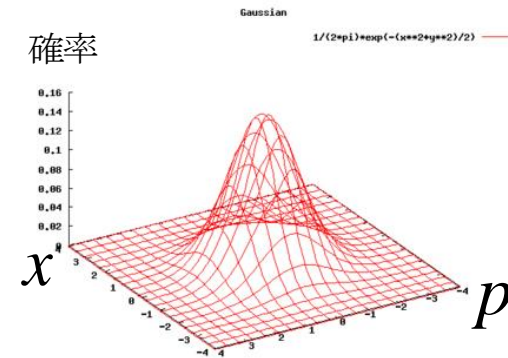
CVQKDの変調プロトコル

- ◆ ガウス変調プロトコル
Aliceが**コヒーレント光**の
直交位相振幅を複素平面上で
ガウス分布するように変えて送信

今回はCVQKDの
ガウス変調プロトコル
を用いる

- ◆ 離散変調プロトコル
Aliceが有限通り(例えば4通り)に
位相を変えて送信

卒業研究はこちら



コヒーレント状態と直交位相振幅

生成演算子 \hat{a}^\dagger \longrightarrow $[\hat{a}, \hat{a}^\dagger] = 1$
消滅演算子 \hat{a}

消滅演算子 \hat{a} の固有状態をコヒーレント状態と定義

$$\hat{a}|\alpha\rangle = \alpha|\alpha\rangle \quad \alpha \in \mathbb{C}$$

直交位相振幅演算子 \hat{x} , \hat{p} を次のように定義

$$\begin{cases} \hat{x} = \frac{\hat{a} + \hat{a}^\dagger}{2} \\ \hat{p} = \frac{\hat{a} - \hat{a}^\dagger}{2i} \end{cases}$$

コヒーレント状態なら
 $\Delta x = \Delta p = \frac{1}{2}$

交換関係

$$[\hat{x}, \hat{p}] = \frac{i}{2}$$

不確定性関係

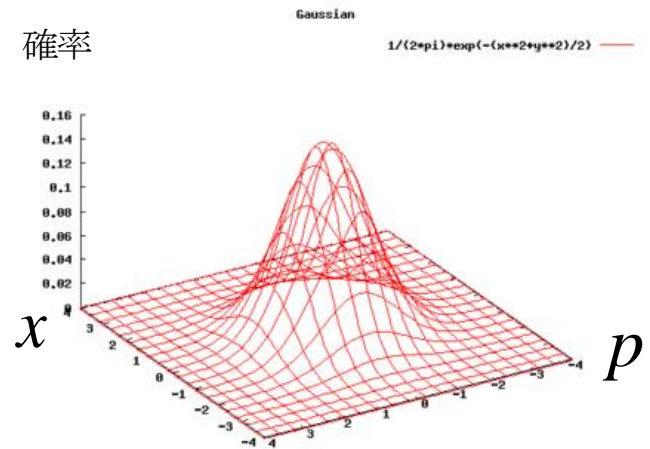
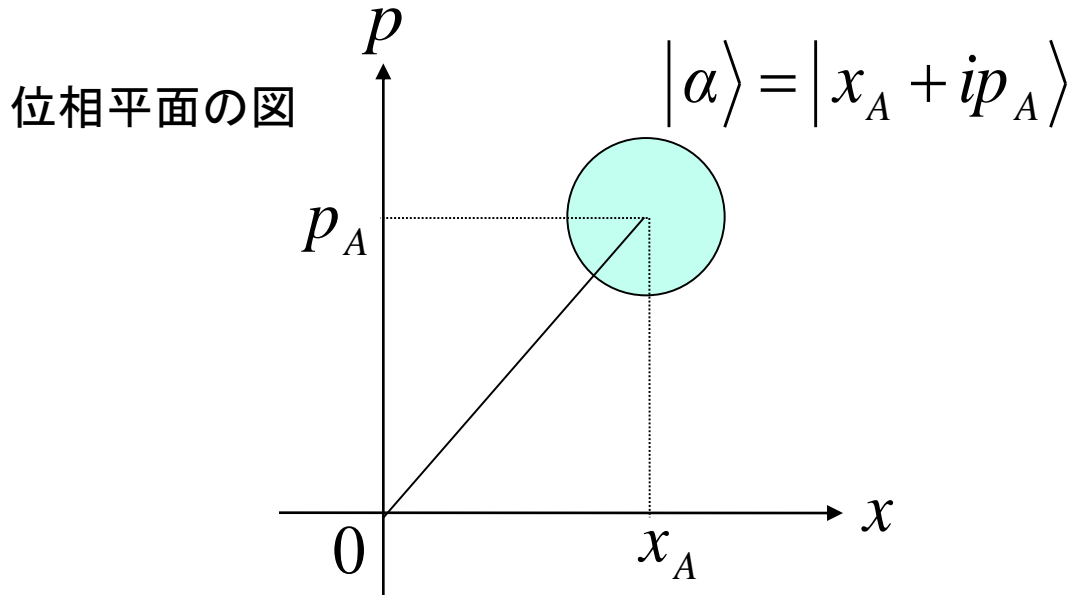
$$\Delta x \Delta p \geq \frac{1}{4}$$

$$(\Delta x)^2 = \langle \hat{x}^2 \rangle - \langle \hat{x} \rangle^2$$

$$(\Delta p)^2 = \langle \hat{p}^2 \rangle - \langle \hat{p} \rangle^2$$

ガウス変調プロトコル-Alice

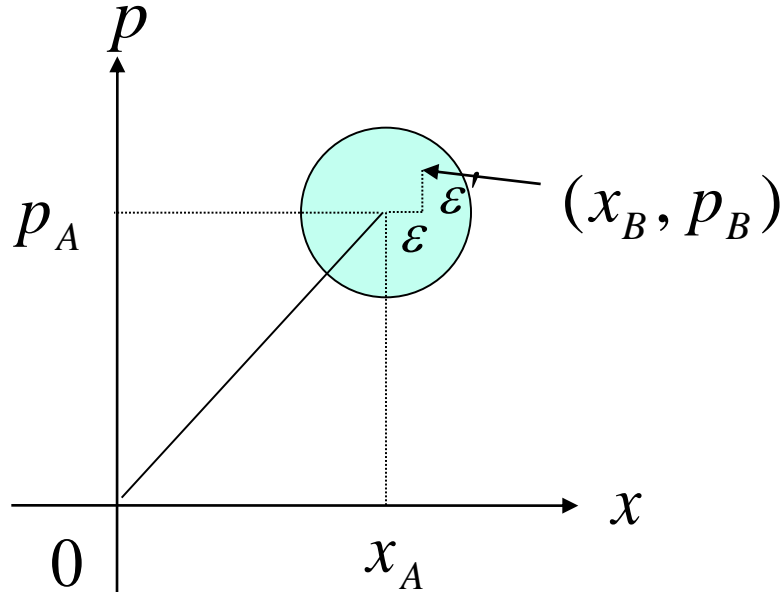
< Aliceの送信状態 >



- ◆ 直交位相振幅 x_A, p_A をそれぞれガウス分布から選択
- ◆ パルスレーザーの位相・振幅を変調
- ◆ コヒーレント状態 $|\alpha\rangle$ の光をBobへ送信

ガウス変調プロトコル-Bob

<Bobの受信状態>

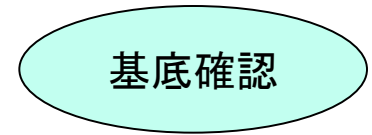


<送信状態>

$$(x_A, p_A)$$

Bobの測定

x or p



$$(x_A, x_B) \text{ or } (p_A, p_B)$$

$$\begin{cases} x_B = x_A + \epsilon \\ p_B = p_A + \epsilon' \end{cases}$$

相関のある実数データを共有



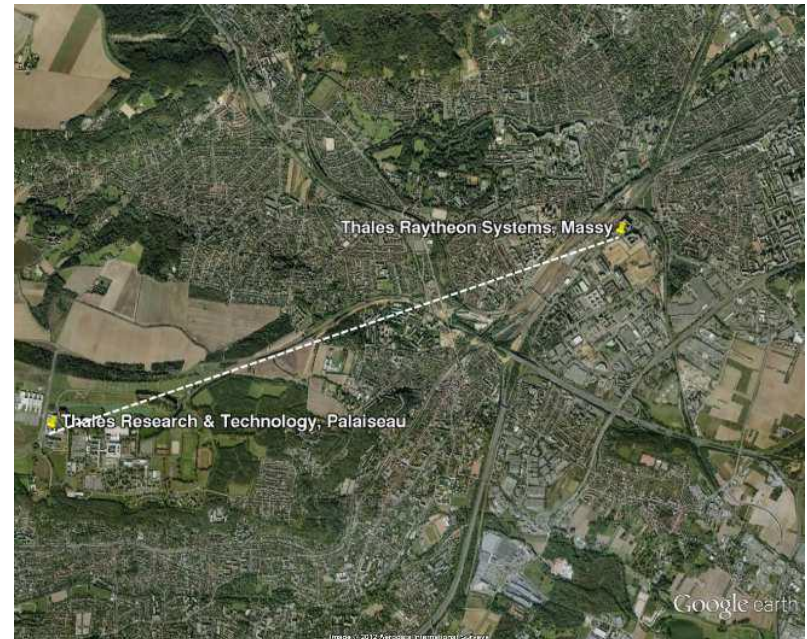
誤り訂正および秘匿性増強により秘密鍵を共有

Project SEQUIRE

(Symmetric Encryption with QUantum key REnewal)

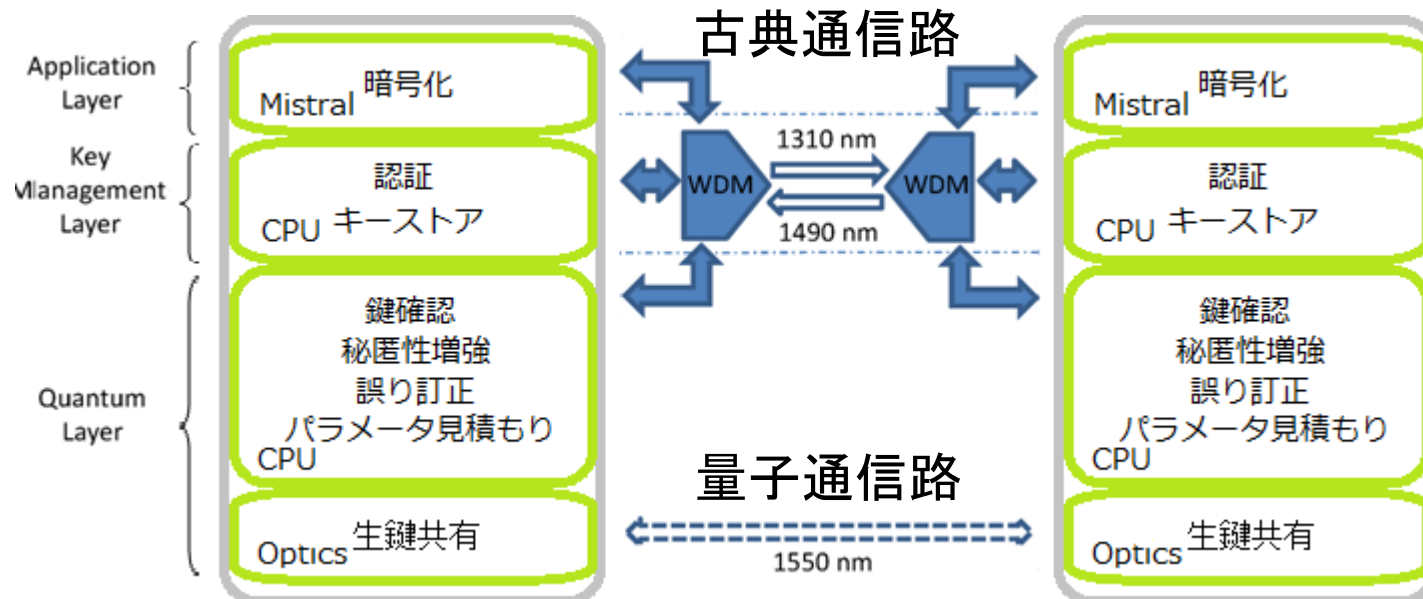
- ◆ SeQureNetによりフィールドテストが行われた
- ◆ 目的: QKDを用いて安全な通信システムの開発
- ◆ 期間: 2010年7月末日から2011年2月の初めまでの6カ月間
- ◆ パレゾー・マシー(仏)間
- ◆ ファイバー長17.7km
- ◆ 透過率34.5%

CVQKDで
最初の
長期間フィールド
テスト!

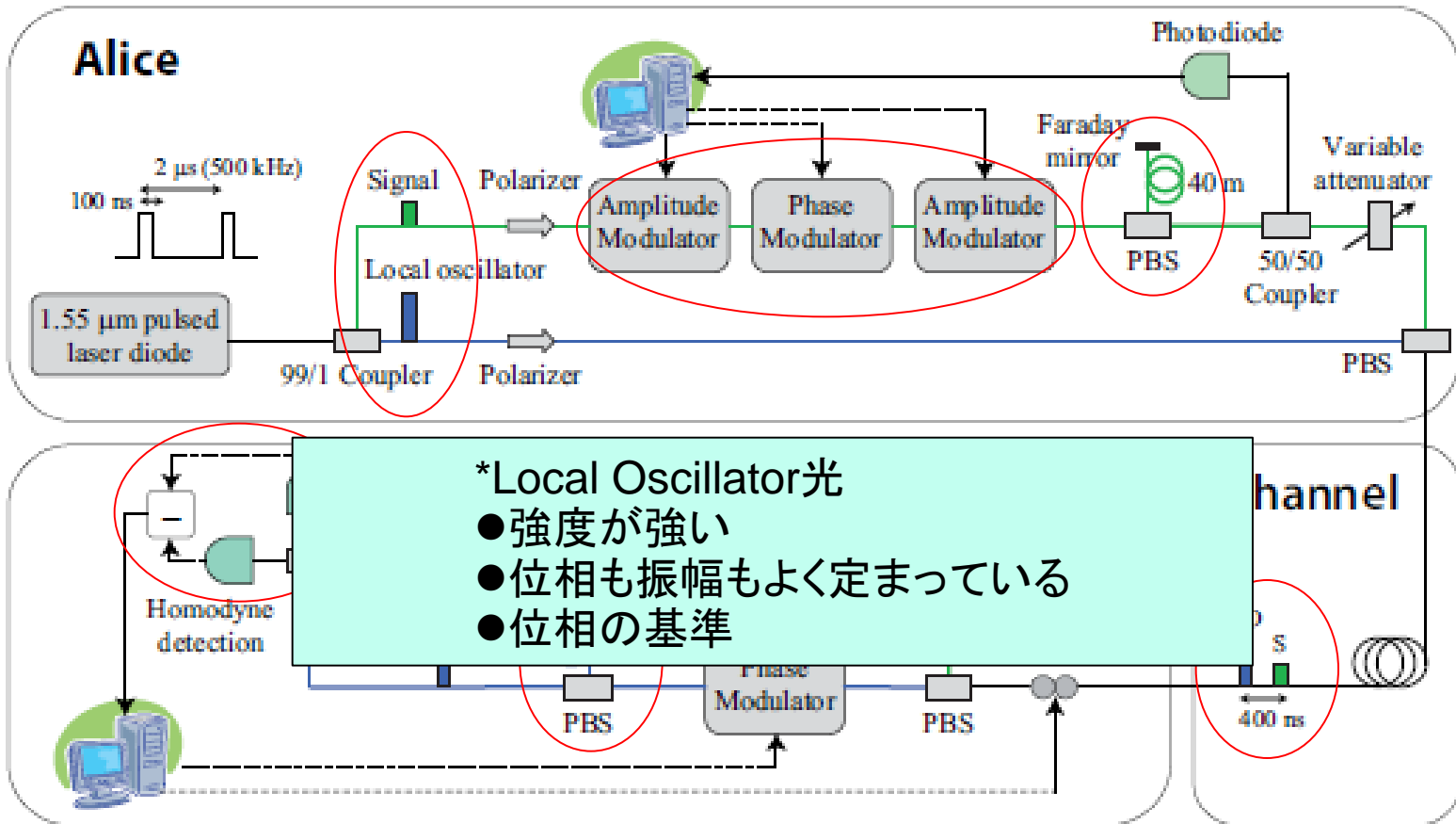


階層化構造 (Layered Architecture)

- ◆ 秘密鍵の生成・管理に階層化構造を用いる
- ◆ それぞれの階層ごとに別の処理を実施



実験装置



ホモダイン検出

入射光について

Signal光の消滅演算子 \hat{a}

LO光の消滅演算子 \hat{b}

出射光について

PD1側の消滅演算子 \hat{a}_1

PD2側の消滅演算子 \hat{a}_2

また \hat{a}_1 , \hat{a}_2 は次式を満たす

$$\hat{a}_1 = \frac{1}{\sqrt{2}}(-\hat{a} + i\hat{b})$$

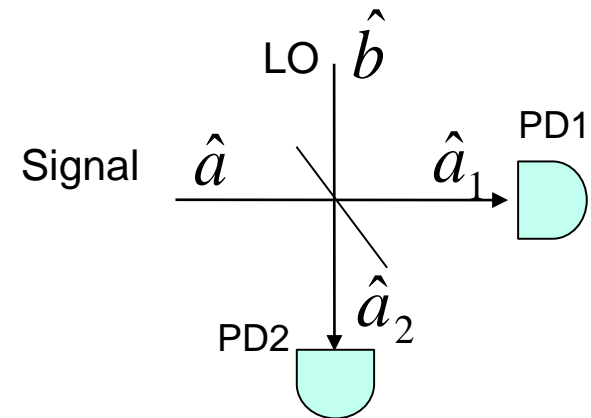
$$\hat{a}_2 = \frac{1}{\sqrt{2}}(\hat{a} + i\hat{b})$$

次にPD1とPD2に入射する

光子数演算子を \hat{n}_1 , \hat{n}_2 を考えると

$$\hat{n}_1 = \hat{a}_1^\dagger \hat{a}_1 = \frac{1}{2}(\hat{a}^\dagger \hat{a} + \hat{b}^\dagger \hat{b} - \hat{a}^\dagger \hat{b} - \hat{b}^\dagger \hat{a})$$

$$\hat{n}_2 = \hat{a}_2^\dagger \hat{a}_2 = \frac{1}{2}(\hat{a}^\dagger \hat{a} + \hat{b}^\dagger \hat{b} + \hat{a}^\dagger \hat{b} + \hat{b}^\dagger \hat{a})$$



ホモダイン検出

ホモダイン検出は \hat{n}_1, \hat{n}_2 の差 \hat{n}_{12} を見る

$$\hat{n}_{12} = \hat{n}_1 - \hat{n}_2 = i (\hat{a}^\dagger \hat{b} - \hat{b}^\dagger \hat{a})$$

ここでLOは強度が強く安定なので $b \rightarrow |\beta| e^{i\theta}$ と置き換えて、

$$\begin{cases} \hat{a} = \hat{x} + i\hat{p} \\ \hat{a}^\dagger = \hat{x} - i\hat{p} \end{cases}$$

を代入して計算すれば

$$\hat{n}_{12} = 2|\beta| (\hat{x} \cos \theta + \hat{p} \sin \theta)$$

ただし $|\beta|^2$ はLO光の平均光子数、

θ はSignal光とLO光の相対位相

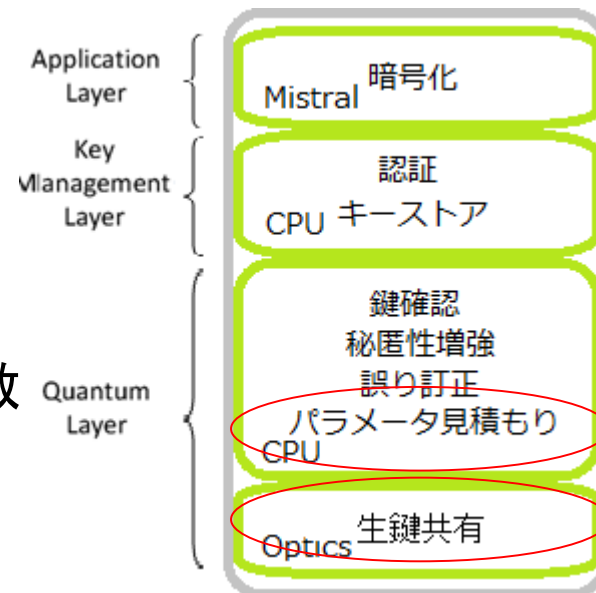
Quantum layer

- ◆ 生鍵共有ステップ
QKDを行いAliceとBobで鍵を共有する
- ◆ パラメーター見積もりステップ
過剰雑音 ξ などのパラメーターを測定・見積もる

$$\xi = \frac{(\Delta x_{obs})^2}{(\Delta x)^2} - 1$$

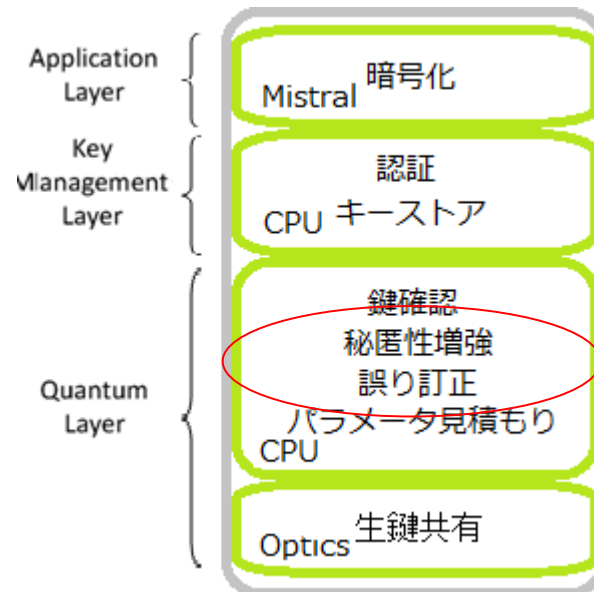
$(\Delta x_{obs})^2$: 観測した分散

$(\Delta x)^2$: コヒーレント状態の分散



Quantum layer - 鍵蒸留

- ◆ 誤り訂正ステップ
AliceとBobで誤りのないbitを共有
- ◆ 秘匿性増強ステップ
Eveに漏れたであろうデータを破棄
- ◆ こうして得られた鍵を**秘密鍵**と呼ぶ
- ◆ 1秒あたりに得られる秘密鍵のbit数を**秘密鍵生成率**という



秘密鍵生成率とは

秘密鍵生成率の式

$$r \propto I_{AB} - I_E$$

I_{AB} : AliceとBobが共有した情報の量

I_E : Eveが盗聴によって得た情報の量

$I_{AB} > I_E$ の時に鍵を作ることができる

Eveの情報の量が増えると
鍵生成率が下がる

Eveの攻撃

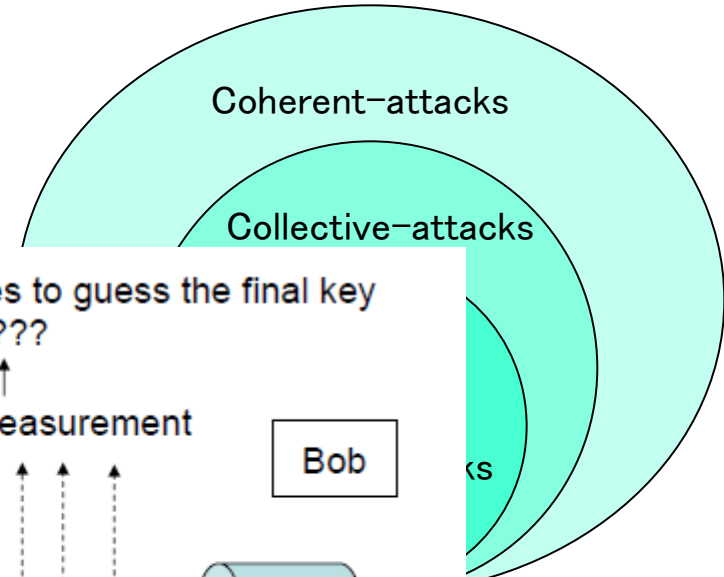
Eveが得られる情報の量

盗聴者Eveが攻撃するとは attacks

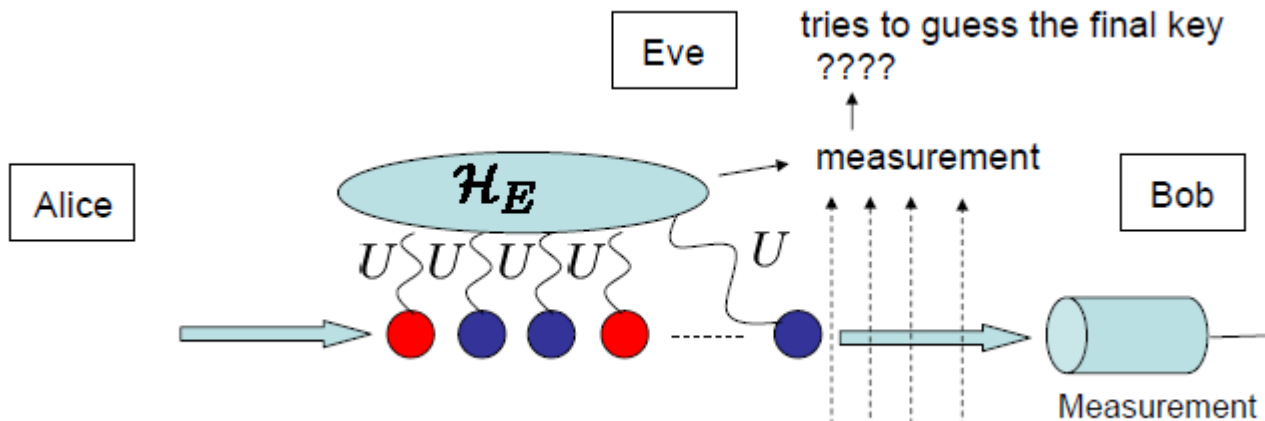
1. 光パルスと自身の装置を相互作用 **一括**
測定: **一括**
2. 相互作用させた自身の系を測定

- ◆ Collective-attacks
- ✓ 相互作用・個別

Eveの攻撃範囲の図



少ない



Quantum state
www.hackbook.jp/koashi/2017/01/17/koashi.pdf

まとめて相互作用・測定することをいう

実験結果-秘密鍵生成率

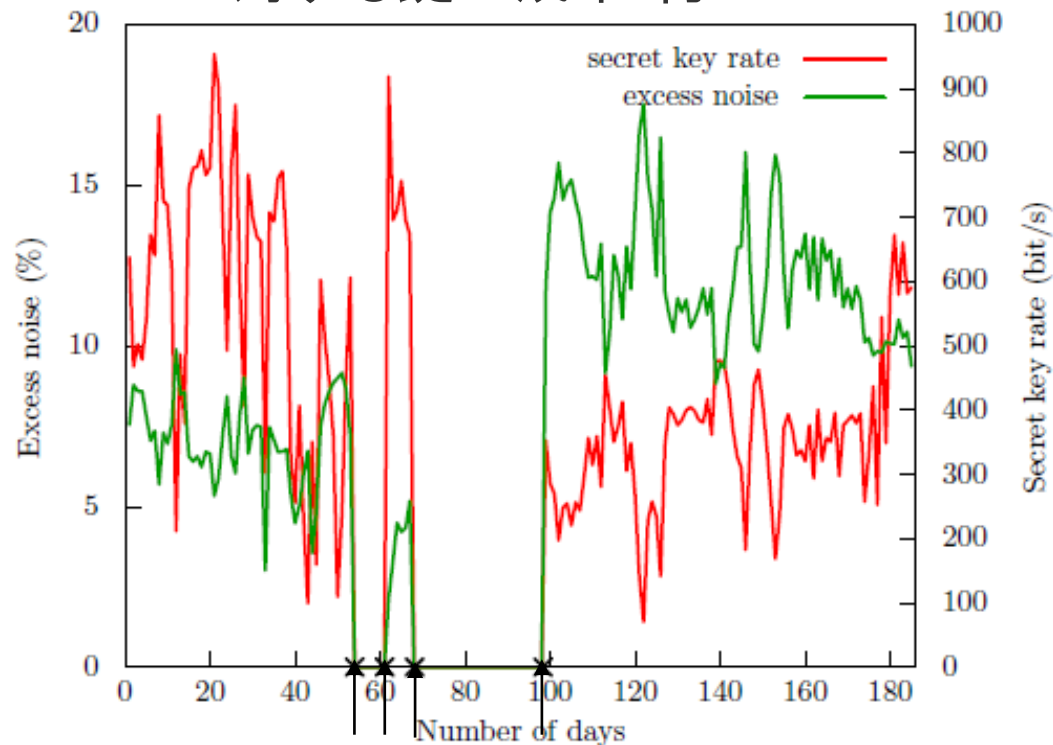
100日以前

◆ Collective-attacksに対する鍵生成率 約600bit/s

100日以後

◆ Collective-attacksに対する鍵生成率 0bit/s

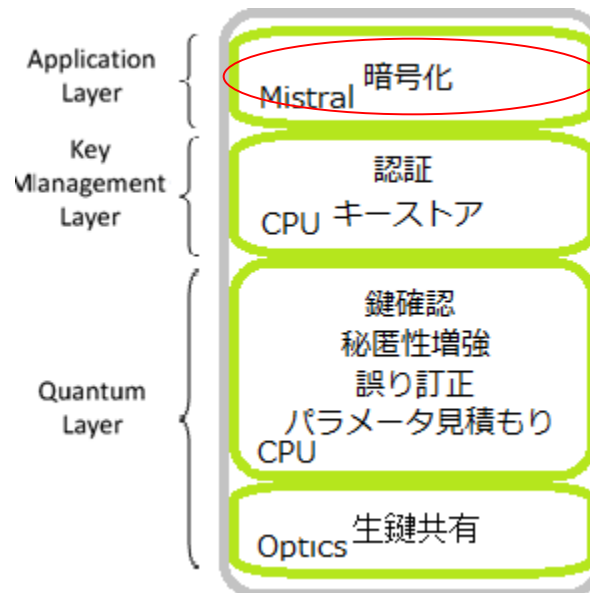
◆ Individual-attacksに対する鍵生成率 約400bit/s



Alice側PCのマザーボードの交換

Application layer

- ◆ 暗号化ステップ
共有した鍵を用いて平文を暗号に変える
Thales社の実製品(Mistral)を想定している



Application layer

◆ 1Gbit/s程度の速度で安全にデータを送りたい

◆ しかし、データセンターのバックアップ等のため

最新のフィールドテストですら鍵生成率は1Mbit/s未満

◆ そこで現実的
解決策として

バー

*バーナム暗号

送信したいデータと同じ長さの秘密鍵

使った秘密鍵はその都度破棄

完全にランダムな秘密鍵を用いれば理論上安全

用いる

AES(Advanced Encryption Standard) 暗号

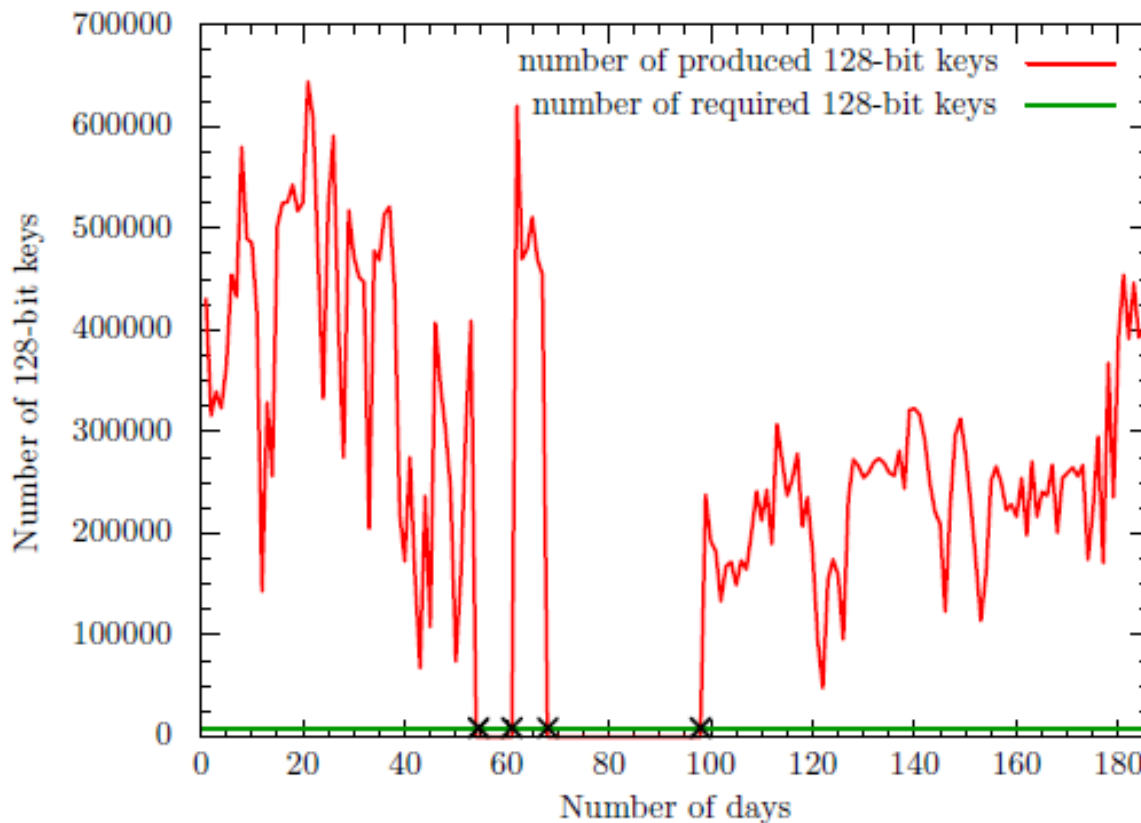
- ◆ 安全で速度の速い共通鍵暗号として
2000年にNISTが選定
- ◆ ブロック暗号方式
 - ✓ 平文を128bitのブロックに分ける
 - ✓ 分けたブロックに対し秘密鍵を当てていく
 - ✓ この操作を何度も繰り返す

計算量的安全性

対策:10秒ごとに秘密鍵を変えることにより安全性を高める

実験結果-1日あたりの128-bit key数

- ◆ 1日あたり8640個(10秒で1個)の128-bit keyが必要
- ◆ 実験中ほぼこの閾値は超えていたといえる



8640個
の鍵

まとめ

- ◆ 2010年7月末日から2011年2月の初めまで6ヶ月間実験
- ◆ ファイバー長17.7km・透過率35.5%
- ◆ CVQKDのガウス変調プロトコルを用いた

その結果、以下のような結論が得られた

- ◆ 過剰雑音が多い場所では鍵生成率が小さくなる
- ◆ 100日以前はcollective-attacksに対し鍵生成率約600bit/s
- ◆ 100日以後はIndividual-attacksに対し鍵生成率約400bit/s
- ◆ 温度管理が出来ていない環境でも
AES暗号に必要な鍵は十分作成できた

今後について

- ◆ 実装距離・速度共に向上を目指す

ご清聴有難うございました